

ПРИБЛИЖЕННЫЙ МЕТОД ОПРЕДЕЛЕНИЯ МАГНИТОУПРУГОГО СОСТОЯНИЯ ПЬЕЗОМАГНИТНОГО ПОЛУПРОСТРАНСТВА И СЛОЯ С ПОЛОСТЯМИ И ТРЕЩИНАМИ

На основании известных методов решения с использованием комплексных потенциалов двумерных и плоских задач магнитоупругости для тел с отверстиями и трещинами предложена методика построения приближенных решений таких задач для полупространства (полуплоскости) и слоя (полосы) с произвольно расположенными отверстиями и трещинами, в том числе выходящими на плоские (прямолинейные) границы. Приведены результаты числовых исследований для полуплоскости и полосы с отверстиями и трещинами.

Введение. Несмотря на то, что первые исследования магнитных эффектов, возникающих в твердых телах, были проведены Дж. П. Джоулем более 150 лет назад, до сих пор многие вопросы магнитоупругости остаются открытыми и представляют большой интерес для механики деформируемого твердого тела [1, 2, 9]. Это вызвано широкими перспективами использования магнитных материалов в современной электронике, технике и приборостроении [5], открывающимися благодаря современной вычислительной технике и междотраслевому научному и практическому сотрудничеству, а также возможностями прогнозирования, моделирования эффективных свойств пьезомагнитных (магнитострикционных) материалов и оптимизации магнитоупругих характеристик различных конструкций [6, 7]. В связи с этим при решении конкретных задач теории магнитоупругости повышенное внимание уделяется определению магнитоупругого состояния многосвязных тел. В работах [4, 8] предложен метод решения двумерной и плоской задач магнитоупругости для пьезомагнитных (магнитострикционных) тел с отверстиями и трещинами, основанный на введении комплексных потенциалов. В данной статье этим методом решены задачи магнитоупругости для многосвязных полупространства (полуплоскости) и слоя (полосы) из пьезомагнитного (магнитострикционного) материала с произвольно расположенными отверстиями и трещинами, в том числе выходящими на плоские (прямолинейные) границы.

1. Постановка задачи и построение общих представлений комплексных потенциалов. Рассмотрим вначале находящееся в двумерном магнитоупругом состоянии многосвязное анизотропное нижнее полупространство из пьезомагнитного (магнитострикционного) материала, ослабленное эллиптическими цилиндрическими полостями, образующие которых параллельны друг другу и плоской границе. Поверхности полостей могут касаться, пересекаться, образовывать плоские трещины или полости любой формы, а также пересекать плоскую границу полупространства. Отнесем полупространство к прямоугольной системе координат $Oxyz$, направив ось Oz по направлению образующих цилиндрических поверхностей, оси Oy и Ox – соответственно перпендикулярно и параллельно плоской границе. В поперечном сечении полупространства плоскостью Oxy будем иметь полуплоскость S , ограниченную прямолинейной границей L^+ и эллиптическими контурами L_ℓ с полуосями a_ℓ и b_ℓ , $\ell = 1, \dots, \mathcal{L}$ (рис. 1). Обозначим расстояние от нача-

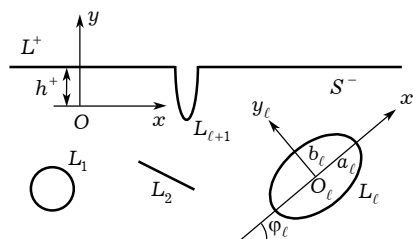


Рис. 1

ла координат до прямолинейной границы через h^+ . Будем считать, что угол жесткого поворота ω_3^∞ полупространства как целого равен нулю, плоская граница свободна от внешних воздействий, поэтому $\sigma_y^\infty = \tau_{xy}^\infty = \tau_{yz}^\infty = B_y^\infty(H_y^\infty) = 0$. Полупространство находится под воздействием растягивающих усилий $\sigma_x^\infty = p$ или однородного магнитного поля с напряженностью $H_x^\infty = \varepsilon$. На поверхностях полостей внешние усилия и индукция поля равны нулю.

Определение магнитоупругого состояния рассматриваемого полупространства сводится к нахождению производных комплексных потенциалов $\Phi'_k(z_k)$, $k = 1, \dots, 4$, из граничных условий на плоской границе и на поверхностях полостей [8]

$$2 \operatorname{Re} \sum_{k=1}^4 g_{ki}^0 \delta_k \Phi'_k(t_k) = 0, \quad i = 1, \dots, 4. \quad (1)$$

Здесь

$$g_{k1}^0 = \lambda_{2k}, \quad g_{k2}^0 = \lambda_{6k}, \quad g_{k3}^0 = \lambda_{4k}, \quad g_{k4}^0 = \lambda_{8k},$$

$$\delta_k = \frac{dz_k}{ds} = \frac{x' + \mu_k y'}{\sqrt{x'^2 + y'^2}},$$

λ_{ik} – постоянные, зависящие от материала полупространства; μ_k – корни известного характеристического уравнения; x' , y' – производные по параметру параметрического задания контура.

Искомые комплексные потенциалы $\Phi_k(z_k)$ определены в областях S_k , получаемых из S аффинными преобразованиями $z_k = x + \mu_k y$. При этом границе L^+ и контурам отверстий L_ℓ в областях S_k будут соответствовать прямолинейные границы L_k^+ , совпадающие с L^+ , и контуры $L_{k\ell}$.

Граничные условия (1) для плоской границы можно записать также в виде [4]

$$\Phi'_k(z_k) + \bar{r}_k \overline{\Phi'_k(z_k)} + \bar{s}_{k+1} \overline{\Phi'_{k+1}(z_{k+1})} + \bar{e}_{k+2} \overline{\Phi'_{k+2}(z_{k+2})} + \bar{n}_{k+3} \overline{\Phi'_{k+3}(z_{k+3})} = 0, \quad (2)$$

где \bar{r}_k , \bar{s}_{k+1} , \bar{e}_{k+2} , \bar{n}_{k+3} – известные постоянные, зависящие от магнитоупругих свойств материала; k – индекс, принимающий значения 1, ..., 4, причем значение индекса $k + j$, когда оно больше 4, формально полагается равным $k + j - 4$. При этом для точек прямолинейной границы $z_k = t_k = x + \mu_k h^+$, $\bar{z}_{k+j} = t_k + (\bar{\mu}_{k+j} - \mu_k)h^+$, $j = 0, \dots, 3$.

Если контуры L_ℓ не пересекают линию L^+ и не касаются ее, то из (2), учитывая общие представления комплексных потенциалов для многосвязной области, методом интегралов типа Коши находим [4]

$$\Phi'_k(z_k) = \Gamma_k + \sum_{\ell=1}^{\mathcal{J}} \sum_{n=1}^{\infty} \left[a_{k\ell n} \Phi'_{k\ell n}(z_k) - \bar{r}_k \bar{a}_{k\ell n} \overline{\Phi'_{k\ell n}(z_k)} - \bar{s}_{k+1} \bar{a}_{k+1, \ell n} \overline{\Phi'_{k+1, \ell n}(z_k)} - \bar{e}_{k+2} \bar{a}_{k+2, \ell n} \overline{\Phi'_{k+2, \ell n}(z_k)} - \bar{n}_{k+3} \bar{a}_{k+3, \ell n} \overline{\Phi'_{k+3, \ell n}(z_k)} \right], \quad (3)$$

где $a_{k\ell n}$ – неизвестные постоянные, определяемые из граничных условий на контурах отверстий; Γ_k – постоянные, определяемые из системы

$$2 \operatorname{Re} \sum_{k=1}^4 (\lambda_{1k}, \lambda_{2k}, \lambda_{4k}, \lambda_{5k}, \lambda_{6k}, \lambda_{7k}(-r_k^0), \lambda_{8k}(-\mu_k r_k^0), q_k - \mu_k p_k) \Gamma_k = \\ = (\sigma_x^\infty, 0, 0, \tau_{xz}^\infty, 0, B_x^\infty(H_x^\infty), 0, 0),$$

$$\Phi'_{k\ell n}(z_k) = -\frac{n}{\zeta_{k\ell}^{n-1} R_{k\ell} (\zeta_{k\ell}^2 - m_{k\ell})},$$

$$\overline{\Phi'}_{k+j,\ell n}^+(z_k) = -\frac{n}{\overline{\zeta}_{k+j,\ell}^{n-1} \overline{R}_{k+j,\ell} (\overline{\zeta}_{k+j,\ell}^2 - \overline{m}_{k+j,\ell})}.$$

Здесь $\overline{\zeta}_{k+j,\ell}^+$ – переменные, вычисляемые из конформных отображений внешности единичного круга на внешности эллипсов $L_{k\ell}^+$, симметричных относительно прямой L^+ :

$$z_k = \overline{z}_{0,k+j,\ell} + (\mu_k - \overline{\mu}_{k+j})h^+ + \overline{R}_{k+j,\ell} \left(\overline{\zeta}_{k+j,\ell}^+ + \frac{\overline{m}_{k+j,\ell}}{\overline{\zeta}_{k+j,\ell}^+} \right),$$

где

$$\overline{z}_{0,k+j,\ell} = x_{0\ell} + \mu_{k+j} y_{0\ell},$$

$$R_{k+j,\ell} = \frac{1}{2} [a_\ell (\cos \varphi_\ell + \mu_{k+j} \sin \varphi_\ell) + i b_\ell (\sin \varphi_\ell - \mu_{k+j} \cos \varphi_\ell)],$$

$$m_{k+j,\ell} = \frac{1}{2R_{k+j,\ell}} [a_\ell (\cos \varphi_\ell + \mu_{k+j} \sin \varphi_\ell) - i b_\ell (\sin \varphi_\ell - \mu_{k+j} \cos \varphi_\ell)].$$

Если хотя бы один из контуров отверстий или трещин поперечного сечения полупространства пересекает прямолинейную границу, то применять метод интегралов типа Коши невозможно. Но вид комплексных потенциалов (3) можно сохранить и в этом случае, выбирая постоянные $\overline{a}_{k\ell n}$ независимыми от коэффициентов $a_{k\ell n}$ и обозначая их через $\overline{b}_{k\ell n}$:

$$\Phi'_k(z_k) = \Gamma_k + \sum_{\ell=1}^{\mathcal{L}} \sum_{n=1}^{\infty} \left[a_{k\ell n} \Phi'_{k\ell n}(z_k) - \overline{r}_k \overline{b}_{k\ell n} \overline{\Phi}'_{k\ell n}^+(z_k) - \right. \\ \left. - \overline{s}_{k+1} \overline{b}_{k+1,\ell n} \overline{\Phi}'_{k+1,\ell n}^+(z_k) - \overline{e}_{k+2} \overline{b}_{k+2,\ell n} \overline{\Phi}'_{k+2,\ell n}^+(z_k) - \right. \\ \left. - \overline{n}_{k+3} \overline{b}_{k+3,\ell n} \overline{\Phi}'_{k+3,\ell n}^+(z_k) \right]. \quad (4)$$

При этом постоянные $b_{k\ell n}$, как и $a_{k\ell n}$, будем определять, удовлетворяя граничным условиям как на контурах отверстий L_ℓ , так и на прямолинейной границе L^+ . И здесь наиболее удобным является метод наименьших квадратов.

Рассмотрим теперь многосвязный слой, ограниченный параллельными плоскостями. В этом случае в поперечном сечении слоя плоскостью Oxy получим полосу S , ограниченную прямыми L^+ , L^- и имеющую отверстия с контурами L_ℓ , $\ell = 1, \dots, \mathcal{L}$ (рис. 2). Обозначим расстояния от начала координат до прямолинейных

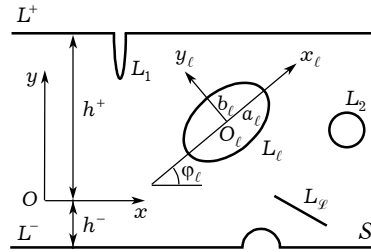


Рис. 2

границ L^+ и L^- соответственно через h^+ и h^- . В качестве частного рассмотрим и случай полосы с произвольно расположенными отверстиями и трещинами, находящейся в условиях обобщенного плоского магнитоупругого состояния.

Исходя из приведенного выше решения задачи для полупространства (4), производные комплексных потенциалов для рассматриваемого слоя выберем в виде

$$\begin{aligned} \Phi'_k(z_k) = & \Gamma_k + \sum_{\ell=1}^{\mathcal{L}} \sum_{n=1}^{\infty} \left[a_{k\ell n} \Phi'_{k\ell n}(z_k) - \bar{r}_k^+ \bar{b}_{k\ell n} \bar{\Phi}'_{k\ell n}^+(z_k) - \right. \\ & - \bar{s}_{k+1}^+ \bar{b}_{k+1,\ell n} \bar{\Phi}'_{k+1,\ell n}^+(z_k) - \bar{e}_{k+2}^+ \bar{b}_{k+2,\ell n} \bar{\Phi}'_{k+2,\ell n}^+(z_k) - \\ & - \bar{n}_{k+3}^+ \bar{b}_{k+3,\ell n} \bar{\Phi}'_{k+3,\ell n}^+(z_k) - \bar{r}_k^- \bar{c}_{k\ell n} \bar{\Phi}'_{k\ell n}^-(z_k) - \\ & - \bar{s}_{k+1}^- \bar{c}_{k+1,\ell n} \bar{\Phi}'_{k+1,\ell n}^-(z_k) - \bar{e}_{k+2}^- \bar{c}_{k+2,\ell n} \bar{\Phi}'_{k+2,\ell n}^-(z_k) - \\ & \left. - \bar{n}_{k+3}^- \bar{c}_{k+3,\ell n} \bar{\Phi}'_{k+3,\ell n}^-(z_k) \right]. \end{aligned} \quad (5)$$

Здесь величины с верхними индексами «+» и «-» относятся к L^+ и L^- ;

$$\bar{\Phi}'_{k+j,\ell n}^-(z_k) = -\frac{n}{\bar{\zeta}_{k+j,\ell}^- \bar{R}_{k+j,\ell} (\bar{\zeta}_{k+j,\ell}^{-2} - \bar{m}_{k+j,\ell})}, \quad j = 0, \dots, 3;$$

$\bar{\zeta}_{k+j,\ell}^-$ – переменные, вычисляемые из неявных зависимостей

$$z_k = \bar{z}_{k+j,\ell}^0 - (\mu_k - \bar{\mu}_{k+j}) h^- + \bar{R}_{k+j,\ell} \left(\bar{\zeta}_{k+j,\ell}^- + \frac{\bar{m}_{k+j,\ell}}{\bar{\zeta}_{k+j,\ell}^-} \right);$$

$a_{k\ell n}$, $b_{k\ell n}$, $c_{k\ell n}$ – неизвестные постоянные, которые будем определять из условий на всех границах, в том числе и на поверхностях полостей.

2. Нахождение комплексных потенциалов. Исходя из граничных условий (1), составим функционал [3, 8]

$$I = \sum_{m=1}^M \sum_{i=1}^4 \left| \sum_{k=1}^4 \left[g_{ki}^0 \delta_k \Phi'_k(t_{km}) + \bar{g}_{ki}^0 \bar{\delta}_k \overline{\Phi'_k(t_{km})} \right] \right|^2, \quad (6)$$

где t_m , $m = 1, \dots, M$, – точки, выбираемые на контурах L_ℓ , а также на некоторых, так называемых «коллокационных отрезках» прямолинейных границ L^+ , L^- , где локальное влияние отверстий и трещин значительно и пренебречь им нельзя.

Удовлетворив условиям минимума функционала (6)

$$\frac{\partial I}{\partial a_{k\ell n}} = 0, \quad \frac{\partial I}{\partial b_{k\ell n}} = 0, \quad \frac{\partial I}{\partial c_{k\ell n}} = 0, \quad k=1, \dots, 4, \quad \ell=1, \dots, \mathcal{L}, \quad n=1, 2, \dots,$$

для определения неизвестных коэффициентов $a_{k\ell n}$, $b_{k\ell n}$, $c_{k\ell n}$ получим такую систему линейных алгебраических уравнений:

$$\begin{aligned} & \sum_{m=1}^M \sum_{i=1}^4 \sum_{s=1}^4 \sum_{r=1}^{\mathcal{L}} \sum_{p=1}^{\infty} \left[a_{srp} \alpha_{isrp} \alpha_{ik\ell n} + \bar{a}_{srp} \bar{\alpha}_{isrp} \alpha_{ik\ell n} + b_{srp} \beta_{isrp} \alpha_{ik\ell n} + \right. \\ & \left. + \bar{b}_{srp} \bar{\beta}_{isrp} \alpha_{ik\ell n} + c_{srp} \gamma_{isrp} \alpha_{ik\ell n} + \bar{c}_{srp} \bar{\gamma}_{isrp} \alpha_{ik\ell n} \right] = \\ & = - \sum_{m=1}^M \sum_{i=1}^4 \sum_{s=1}^4 \alpha_{ik\ell n} \left[g_{si}^0 \delta_s \Gamma_s + \bar{g}_{si}^0 \bar{\delta}_s \bar{\Gamma}_s \right], \end{aligned}$$

$$\begin{aligned}
& \sum_{m=1}^M \sum_{i=1}^4 \sum_{s=1}^4 \sum_{r=1}^{\mathcal{L}} \sum_{p=1}^{\infty} [a_{srp} \alpha_{isrp} \beta_{ikln} + \bar{a}_{srp} \bar{\alpha}_{isrp} \beta_{ikln} + b_{srp} \beta_{isrp} \beta_{ikln} + \\
& \quad + \bar{b}_{srp} \bar{\beta}_{isrp} \beta_{ikln} + c_{srp} \gamma_{isrp} \beta_{ikln} + \bar{c}_{srp} \bar{\gamma}_{isrp} \beta_{ikln}] = \\
& = - \sum_{m=1}^M \sum_{i=1}^4 \sum_{s=1}^4 \beta_{ikln} [g_{si}^0 \delta_s \Gamma_s + \bar{g}_{si}^0 \bar{\delta}_s \bar{\Gamma}_s], \\
& \sum_{m=1}^M \sum_{i=1}^4 \sum_{s=1}^4 \sum_{r=1}^{\mathcal{L}} \sum_{p=1}^{\infty} [a_{srp} \alpha_{isrp} \gamma_{ikln} + \bar{a}_{srp} \bar{\alpha}_{isrp} \gamma_{ikln} + b_{srp} \beta_{isrp} \gamma_{ikln} + \\
& \quad + \bar{b}_{srp} \bar{\beta}_{isrp} \gamma_{ikln} + c_{srp} \gamma_{isrp} \gamma_{ikln} + \bar{c}_{srp} \bar{\gamma}_{isrp} \gamma_{ikln}] = \\
& = - \sum_{m=1}^M \sum_{i=1}^4 \sum_{s=1}^4 \gamma_{ikln} [g_{si}^0 \delta_s \Gamma_s + \bar{g}_{si}^0 \bar{\delta}_s \bar{\Gamma}_s], \\
& k=1, \dots, 4, \quad \ell=1, \dots, \mathcal{L}, \quad n=1, 2, \dots
\end{aligned} \tag{7}$$

Здесь

$$\begin{aligned}
\alpha_{ikln} &= g_{ki}^0 \delta_k \varphi'_{kln}(t_{km}), \\
\beta_{ikln} &= -r_k \bar{g}_{ki}^0 \bar{\delta}_k \overline{\varphi'_{kln}(t_{km})} - s_k \bar{g}_{k+3,i}^0 \bar{\delta}_{k+3} \overline{\varphi'_{kln}(t_{k+3,m})} - \\
& \quad - e_k \bar{g}_{k+2,i}^0 \bar{\delta}_{k+2} \overline{\varphi'_{kln}(t_{k+2,m})} - n_k \bar{g}_{k+1,i}^0 \bar{\delta}_{k+1} \overline{\varphi'_{kln}(t_{k+1,m})}, \\
\gamma_{ikln} &= -r_k^- \bar{g}_{ki}^0 \bar{\delta}_k \overline{\varphi'_{kln}(t_{km})} - s_k^- \bar{g}_{k+3,i}^0 \bar{\delta}_{k+3} \overline{\varphi'_{kln}(t_{k+3,m})} - \\
& \quad - e_k^- \bar{g}_{k+2,i}^0 \bar{\delta}_{k+2} \overline{\varphi'_{kln}(t_{k+2,m})} - n_k^- \bar{g}_{k+1,i}^0 \bar{\delta}_{k+1} \overline{\varphi'_{kln}(t_{k+1,m})}.
\end{aligned}$$

После решения системы (7) комплексные потенциалы (5) станут известными, что позволит вычислять основные характеристики магнитоупругого состояния в любых точках тела:

$$\begin{aligned}
(\sigma_x, \sigma_y, \tau_{yz}, \tau_{xz}, \tau_{xy}) &= 2 \operatorname{Re} \sum_{k=1}^4 (\lambda_{1k}, \lambda_{2k}, \lambda_{4k}, \lambda_{5k}, \lambda_{6k}) \Phi'_k(z_k), \\
(u, v, w, \psi) &= 2 \operatorname{Re} \sum_{k=1}^4 (p_k, q_k, s_k^0, r_k^0) \Phi_k(z_k) + (-\omega_3 y + u_0, \omega_3 x + v_0, w_0, \psi_0), \\
(B_x, B_y) &= 2 \operatorname{Re} \sum_{k=1}^4 (\lambda_{7k}, \lambda_{8k}) \Phi'_k(z_k), \\
(H_x, H_y) &= -2 \operatorname{Re} \sum_{k=1}^4 (r_k^0, \mu_k r_k^0) \Phi'_k(z_k),
\end{aligned}$$

а также коэффициенты интенсивности напряжений, индукции и напряженности поля (КИНИН) для вершин трещин:

$$\begin{aligned}
k_1^{\pm} &= \lim_{r \rightarrow 0} \sqrt{2r} [\sigma_x \sin^2 \varphi_{\ell} + \sigma_y \cos^2 \varphi_{\ell} - 2\tau_{xy} \cos \varphi_{\ell} \sin \varphi_{\ell}], \\
k_2^{\pm} &= \lim_{r \rightarrow 0} \sqrt{2r} [(\sigma_y - \sigma_x) \sin \varphi_{\ell} \cos \varphi_{\ell} + \tau_{xy} (\cos^2 \varphi_{\ell} - \sin^2 \varphi_{\ell})], \\
k_3^{\pm} &= \lim_{r \rightarrow 0} \sqrt{2r} (\tau_{yz} \cos \varphi_{\ell} - \tau_{xz} \sin \varphi_{\ell}),
\end{aligned}$$

$$k_B = \lim_{r \rightarrow 0} \sqrt{2r} (B_y \cos \varphi_\ell - B_x \sin \varphi_\ell),$$

$$k_H = \lim_{r \rightarrow 0} \sqrt{2r} (H_x \cos \varphi_\ell + H_y \sin \varphi_\ell).$$

Здесь r – расстояние от конца трещины до выбранной точки.

Если вместо слоя рассматривается полоса с отверстиями и трещинами, то приведенное выше решение сохраняется, только в нем нужно все величины с индексом $k = 4$ положить равными нулю, а если вместо слоя рассматривается полупространство, то в приведенном выше решении необходимо положить равными нулю коэффициенты $c_{k\ell n}$. Для решения задачи в случае полуплоскости в полученном для полупространства решении все величины с индексом $k = 4$ следует положить равными нулю.

3. Описание и анализ результатов численных исследований. Были проведены численные исследования магнитоупругого состояния многосвязной полосы (рис. 3) и полуплоскости, изготовленных из магнестрикционного Terfenol-D (материал М1) и пьезомагнитной керамики (материал М2) [6–8] при растяжении усилиями $\sigma_x^\infty = p$ или действии магнитного поля с напряженностью $H_x^\infty = \varepsilon$.

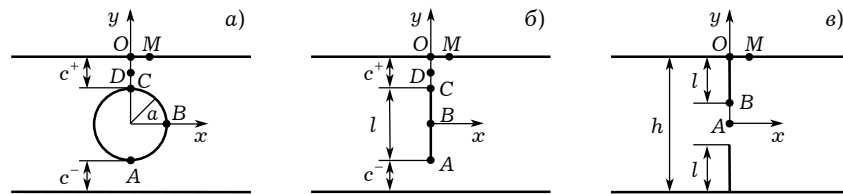


Рис. 3

При проведении исследований в зависимости от расположения отверстий и трещин друг относительно друга и относительно прямолинейных границ количество членов в рядах (3) и (6) изменялось от 10 до 50, количество точек на контурах отверстий и на «коллокационных отрезках» прямолинейных границ – от 90 до 200. Значения этих параметров увеличивались до тех пор, пока граничные условия не удовлетворялись с достаточной высокой степенью точности (погрешность граничных значений основных характеристик по отношению к интенсивности приложенной нагрузки составляла не более 10^{-3}). «Коллокационные отрезки» выбирались такой длины и в таком месте, чтобы за ними можно было пренебречь влиянием отверстий и трещин на магнитоупругое состояние.

Ниже описаны некоторые из полученных результатов. При этом напряжения, индукция, напряженность поля и КИНИН даны с точностью до интенсивности приложенной нагрузки (p или ε) в качестве множителя. При этом приняты следующие обозначения: c^+ , c^- – расстояния от данного контура (трещины) до границ L^+ , L^- соответственно, причем значения величин при $c^- = \infty$ относятся к случаю, когда вместо полосы рассматривается полуплоскость; a – радиус кругового отверстия (рис. 3а); l – длина внутренней трещины (рис. 3б) или краевых трещин (рис. 3в).

На рис. 4 и 5 приведены соответственно графики напряжений σ_x (при $\sigma_x^\infty = p$) и индукции $B_x \cdot 10^6$ (при $H_x^\infty = \varepsilon$) в полуплоскости (сплошные линии) и полосе (пунктирные линии) с центральным круговым отверстием в зависимости от отношения c/a длины перемычки с между границей полу-

плоскости (полосы) и контуром отверстия ($c^+ = c^- = c$) к радиусу отверстия a . В качестве материала принимали М1. Значения величин приведены в точках $A(0; -a)$, $C(0; a)$, $D(0; a + \frac{c}{2})$, $M(\frac{a}{2}; a + c)$ (см. рис. 3а).

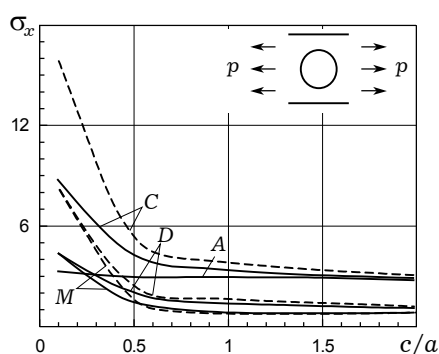


Рис. 4

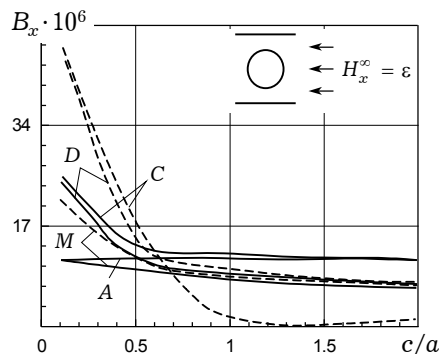


Рис. 5

Из анализа рис. 4, 5 и других полученных результатов следует, что в случае силового воздействия значения магнитных характеристик (компонент векторов индукции и напряженности) малы, но не пренебрежимо, по сравнению с напряжениями, а если на полуплоскость (полосу) действует магнитное поле, то существенных значений достигают не только компоненты векторов индукции и напряженности, но и напряжения.

При уменьшении отношения c/a значения основных характеристик магнитоупругого состояния резко возрастают в зонах между отверстием и прямолинейной границей (границами). Особенно больших значений они достигают в точках перемычки (перемычек), близких к контуру отверстия. На значения магнитоупругих характеристик существенно влияют и степени анизотропии материалов полуплоскости и полосы по упругим и магнитным свойствам, характеризуемые соответственно отношениями $\frac{s_{11}^B}{s_{22}^B}$ и $\frac{\mu_{11}^\sigma}{\mu_{22}^\sigma}$, где

s_{mn}^B и μ_{ij}^σ , $m, n = 1, \dots, 6$; $i, j = 1, 2, 3$, — коэффициенты деформации, измененные при постоянной индукции, и коэффициенты магнитной проницаемости материала. Как для силовых, так и для магнитных воздействий увеличение жесткости и магнитной проницаемости материала (уменьшение значений s_{ij}^B и μ_{ij}^σ) приводит к значительному росту напряжений и индукции. Из сравнения данных для полуплоскости и полосы следует, что наличие второй прямолинейной границы приводит к существенному увеличению значений магнитоупругих характеристик. Взаимным влиянием отверстия и прямолинейных границ (границы) можно пренебречь, если длины перемычек не менее диаметра отверстия.

В табл. 1, 2 соответственно для полуплоскости и полосы с центральной трещиной (рис. 3б) длины l приведены значения некоторых магнитоупругих характеристик в зависимости от отношения c/l длины перемычки c между границей полуплоскости (полосы) и трещиной к длине трещины l для случаев действия механических усилий или магнитного поля. Значения величин рассчитаны в точках $A(0; -\frac{l}{2})$, $C(0; \frac{l}{2})$, $D(0; \frac{l+c}{2})$.

Таблица 1

Точка	Величина	Материал	c/l				
			2.0	1.0	0.5	0.1	0
			Действие усилий $\sigma_x^\infty = p$				
A	k_1^-	M1	0.715	0.728	0.751	0.836	0.983
C	k_1^+	M1	0.717	0.736	0.781	1.064	–
D	σ_x	M1	1.077	1.203	1.467	3.277	–
	σ_y	M1	0.044	0.106	0.218	0.867	–
			Действие поля напряженности $H_x^\infty = \varepsilon$				
A	$k_B^- \cdot 10^6$	M1	3.815	3.845	3.904	4.144	5.370
		M2	10.893	11.022	11.347	13.844	15.257
	k_H^-	M1	0.710	0.716	0.727	0.772	1.000
C	$k_B^+ \cdot 10^6$	M1	3.819	3.864	3.979	4.862	–
		M2	10.882	10.969	11.140	11.843	–
	k_H^+	M1	0.711	0.720	0.741	0.905	–
D	$B_x \cdot 10^6$	M1	5.754	6.392	7.785	18.118	–
		M2	16.407	18.221	22.172	51.488	–
	H_x	M1	1.071	1.190	1.450	3.374	–
	τ_{xy}	M1	-0.041	-0.142	-0.410	-2.405	–
M2		-0.655	-2.514	-8.021	-55.020	–	

Таблица 2

Точка	Величина	Материал	c/l			
			2.0	1.0	0.5	0.1
			Действие усилий $\sigma_x^\infty = p$			
C	k_1^+	M1	0.724	0.758	0.837	1.325
D	σ_x	M1	1.082	1.224	1.536	3.952
	σ_y	M1	0.045	0.109	0.235	1.101
			Действие поля напряженности $H_x^\infty = \varepsilon$			
C	$k_B^+ \cdot 10^6$	M1	3.852	3.961	4.230	6.092
		M2	10.989	11.309	12.037	17.237
	k_H^+	M1	0.717	0.738	0.788	1.134
D	$B_x \cdot 10^6$	M1	5.795	6.534	8.237	22.632
		M2	16.531	18.642	23.409	63.848
	H_x	M1	1.079	1.217	1.534	4.215
	τ_{xy}	M1	-0.017	-0.076	-0.246	-1.550
M2		-0.186	-1.160	-4.620	-36.000	

Из табл. 1, 2 и других полученных результатов для полуплоскости и полосы с центральной трещиной следуют выводы, аналогичные приведенным выше для полуплоскости и полосы с круговым отверстием, а именно: при уменьшении отношения c/l значения магнитоупругих характеристик и КИНИН увеличиваются; взаимным влиянием прямолинейных границ (границы) и трещины можно пренебречь, если длины перемычек больше длины трещины. Влияние жесткости и магнитной проницаемости материала на значения характеристик магнитоупругого состояния при действии меха-

нических сил незначительно и весьма велико в случае магнитного воздействия. Так, для материала М2 значения k_B , индукции и напряжений вблизи прямолинейных границ и в точках переемычки значительно больше, чем для материала М1. Следует также отметить, что коэффициент k_H не зависит от анизотропии материала.

Таблица 3

Точка	Величина	l/h				
		0.1	0.3	0.5	0.7	0.9
		Действие усилий $\sigma_x^\infty = p$				
A	σ_x	0.979	0.951	1.089	1.649	4.306
	σ_y	0.006	0.244	0.504	1.121	3.641
B	k_1	0.175	0.456	0.544	0.819	1.347
M	σ_x	0.967	0.568	0.540	0.347	0.289
		Действие поля напряженности $H_x^\infty = \varepsilon$				
A	$B_x \cdot 10^6$	5.411	5.696	7.449	11.302	30.030
	H_x	1.008	1.061	1.388	2.105	5.594
B	$k_B \cdot 10^6$	1.704	2.878	4.194	5.736	9.415
	k_H	0.317	0.536	0.782	1.068	1.754
M	$B_x \cdot 10^6$	5.259	4.481	4.072	3.552	3.112
	H_x	0.979	0.835	0.758	0.661	0.579

В табл. 3 для полосы постоянной ширины h , изготовленной из материала М1, с двумя симметричными краевыми трещинами (рис. 3в) в зависимости от отношения l/h длины трещины к ширине полосы приведены значения некоторых характеристик магнитоупругого состояния и КИНИН в точках $A(0; 0)$, $B\left(0; \frac{h}{2} - l\right)$, $M\left(\frac{h}{4}; \frac{h}{2}\right)$.

Как видно из табл. 3 и других полученных результатов, увеличение длин краевых трещин в полосе приводит к существенному росту значений магнитоупругих характеристик. Как и для полосы с поперечной центральной трещиной, в случае магнитного воздействия влияние анизотропии и магнитной проницаемости материала значительно на значения индукции, коэффициента интенсивности k_B и напряжений.

4. Выводы. С использованием обобщенных комплексных потенциалов решена задача об определении магнитоупругого состояния полупространства (полуплоскости) и слоя (полосы) с отверстиями и трещинами при произвольном их расположении и сочетании с приближенным методом наименьших квадратов, удовлетворением граничным условиям как на контурах отверстий и трещин, так и на плоских (прямолинейных) границах. Описаны результаты численных исследований магнитоупругого состояния полосы (полуплоскости) с круговым отверстием или поперечной трещиной и полосы с двумя симметричными краевыми трещинами при растяжении и действии однородного магнитного поля. Выявлено влияние геометрических и магнитоупругих характеристик полуплоскости и полосы на значения основных характеристик магнитоупругого состояния и КИНИН.

1. Гачкевич А. Р. Термомеханика электропроводных тел при воздействии квазистационарных электромагнитных полей. – Киев: Наук. думка, 1992. – 192 с.
2. Гузь А. Н., Махорт Ф. Г. Акустоэлектромагнитоупругость – Киев: Наук. думка, 1988. – 284 с. – (Механика связанных полей в элементах конструкций: В 5 т. – Т. 3.)

3. Калоеров С. А., Бороненко О. И. Двумерная и плоская задачи для пьезомагнитного тела с отверстиями и трещинами // Теорет. и прикл. механика. – 2005. – Вып. 42. – С. 111–123.
4. Калоеров С. А., Глуценко Ю. А. Приближенный метод определения электроупругого состояния слоя и полосы с отверстиями и трещинами // Теорет. и прикл. механика. – 2004. – Вып. 39. – С. 115–126.
5. Магнитные и диэлектрические приборы / Под ред. Г. В. Катца: В 2 ч. – Москва – Ленинград: Энергия, 1964. – Ч. 1. – 416 с.
6. Маслов Б. П., Лещенко П. В. Прогнозирование эффективных свойств пьезомагнитной керамики, упрочненной дискретными волокнами // Прикл. механика. – 1981. – **17**, № 8. – С. 114–118.
7. Liu Y. X., Wan J. G., Liu J.-M., Nan C. W. Effect of magnetic bias field on magnetoelectric coupling in magnetoelectric composites // J. Appl. Phys. – 2003. – **94**, No. 8. – P. 5118–5122.
8. Kaloerov S. A., Boronenko O. I. Two-dimensional magnetoelastic problem for a multiply connected piezomagnetic body // Int. Appl. Mech. – 2005. – **41**, No. 10. – P. 1138–1148.
9. Shul'ga N. A. Propagation of coupled waves interacting with an electromagnetic field in periodically inhomogeneous media // Int. Appl. Mech. – 2003. – **39**, No. 10. – P. 1146–1172.

НАБЛИЖЕНИЙ МЕТОД ВИЗНАЧЕННЯ МАГНІТОПРУЖНОГО СТАНУ П'ЄЗОМАГНІТНОГО ПІВПРСТОРУ ТА ШАРУ З ОТВОРАМИ Й ТРІЩИНАМИ

На основі відомих методів розв'язування з використанням комплексних потенціалів двовимірних і плоских задач магнітопружності для тіл з отворами та тріщинами запропоновано методіку побудови наближених розв'язків таких задач для півпростору (півплощини) і шару (смуги) з довільно розміщеними отворами й тріщинами, зокрема, коли вони виходять на плоскі (прямолінійні) границі. Наведено результати числових досліджень для півплощини та смуги з отворами і тріщинами.

APPROXIMATE METHOD OF MAGNETOELASTIC STATE DETERMINATION FOR PIEZOMAGNETIC HALF-SPACE AND LAYER WITH CAVITIES AND CRACKS

A method for solution of the magnetoelastic problems based on the theory of complex variable functions is proposed in [3, 8]. The basic relations for complex potentials are given. The methods for solution of two-dimensional and plane problems are described for solids with cavities and cracks. In the paper, using this method, the approximate solutions for such problems for the half-space (half-plane) and layer (strip) with arbitrarily situated cavities and cracks are constructed. It is assumed, that the cavities and cracks are able to cross linear (plane) boundaries. As a numerical illustration, the half-plane and strip with cavities and cracks under surface mechanical and magnetic loads are analyzed.

Донецк. нац. ун-т, Донецк

Получено
24.05.06